

## ЛЮМИНЕСЦЕНТНЫЕ СТЕКЛА ДЛЯ ПРЕОБРАЗОВАНИЯ РЕНТГЕНОВСКОГО ИЗЛУЧЕНИЯ В РАДИАЦИОННЫХ ИНТРОСКОПАХ

О.В. Казьмина, А.Н. Абияка, Ю.А. Москалев, А.А. Дитц

Томский политехнический университет

E-mail: kazmina@tpu.ru

*Разработаны составы люминесцентных стекол для преобразователей рентгеновского излучения радиационных интроскопов. Проведены исследования рентгенолюминесценции неорганических стекол, активированных ионами редкоземельных элементов, при возбуждении рентгеновским излучением. Опробована методика измерений яркости рентгенолюминесценции преобразователей с использованием аппаратной базы радиационных интроскопов.*

Одним из наиболее важных применений явления люминесценции остается преобразование проникающих излучений в видимый свет. Начиная с открытия рентгеновских лучей и до настоящего времени, рентгенолюминесценция является основным процессом визуализации радиационных изображений в интроскопии и дефектоскопии.

В настоящее время известно большое число люминесцентных материалов используемых в качестве детекторов или преобразователей излучений в широком диапазоне энергий, однако не все они могут быть использованы в качестве преобразователей рентгеновских излучений в интроскопах. Качество радиационных преобразователей в значительной степени определяется свойствами исходных материалов, которые должны удовлетворять следующим требованиям [1]:

- высокое поглощение рабочего пучка ионизирующего излучения;
- высокое пространственное разрешение;
- согласованность спектра люминесценции со спектральной характеристикой ПЗС-матрицы или фотоприемника интроскопа;
- технологическая возможность изготовления преобразователя в виде экрана достаточно большой площади.

Преобразователем рентгеновских лучей может выступать неорганическое стекло. Благодаря своим уникальным свойствам — прозрачность в видимом диапазоне спектра, достаточная прочность, стойкость против воздействия окружающей среды, гибкая технологичность, позволяющая относительно простыми средствами изготавливать изделия различной формы, стекло широко используется для изготовления конструктивных элементов различных приборов и измерительных устройств [2].

Несмотря на все перечисленные преимущества стекла, перед другими материалами, в России не налажен выпуск преобразователей рентгеновского излучения на их основе. За рубежом изготовлением рентгенолюминесцентных стекол занимается американская фирма «Collimated Holes, Inc.», однако разработанный данной фирмой состав стекла в технической литературе не приводится [3].

Цель данной работы — разработать составы люминесцентных стекол, пригодных для изготовле-

ния экранных преобразователей рентгеновского излучения, применяемых в промышленной дефекто- и интроскопии.

В качестве активаторов рентгенолюминесценции стекол рассмотрены оксиды редкоземельных элементов (РЗЭ). Специфика физико-химических оксидов РЗЭ связана с особенностями их электронного строения, наличием незаполненных орбиталей. При поглощении электромагнитного излучения происходит переход неспаренных электронов с уровня основного состояния на уровень возбужденного. Люминесценция возникает как результат обратного перехода возбужденных электронов на более низкоэнергетические уровни.

В качестве матрицы на начальном этапе работы было выбрано легкоплавкое трехкомпонентное стекло системы  $PbO-B_2O_3-SiO_2$  с высоким содержанием свинца (до 40 мол. %). Интерес к стеклу указанной системы вызван тем, что свинецсодержащие стекла обладают высокой плотностью, которая напрямую связана со способностью стекла поглощать рентгеновские лучи, устойчивостью к окрашиванию под действием излучения, высоким светопропусканием в видимой части спектра, а также низкой температурой варки.

С целью снижения отрицательного влияния примесей на люминесцентные свойства стекла, шихты синтезировали из реактивов марки «х.ч.». Варку свинецсодержащих стекол, активированных оксидами РЗЭ в количестве 2 мас. %, осуществляли в корундовых тиглях вместимостью 200 мл при температуре 1200 °С. Отливку стекломассы осуществляли в чугунные формы с последующим отжигом. Образцы готовились в виде полированных пластинок толщиной 5 мм.

Известные в настоящее время методики измерения яркости рентгенолюминесценции различных материалов основаны на общей схеме, включающей источник излучения, измеряемый образец, детектор светового потока рентгенолюминесценции, совмещенный с измерительным прибором.

В качестве источника излучения используются рентгеновские аппараты с энергией 20...200 кВ или изотопные источники  $\gamma$ -излучения, такие как  $^{75}Se$ ,  $^{241}Am$  с энергией  $\gamma$ -квантов 20...300 кэВ. Следует отметить, что в последнем случае для обеспечения

радиационной безопасности используются изотопные источники с малой активностью – в пределах до 100 квантов/с.

В соответствии с интенсивностью источника излучения и яркостью рентгенолюминесценции используют различные детекторы – измерители люминесценции. Так, в случае применения изотопных источников, применяют фотоэлектронные умножители (ФЭУ), работающие в счетном режиме. При использовании рентгеновских аппаратов измерение яркости свечения образцов осуществляется с помощью ФЭУ в токовом режиме или селеновых фотоэлементов в комплексе с гальванометром.

Необходимо отметить, что указанные схемы не обеспечивают необходимой точности измерений яркости. В случае изотопных источников – малая статистика  $\gamma$ -квантов ограничивает точность измерений в пределах 20 %. Для рентгеновских аппаратов с применением ФЭУ и селеновых фотоэлементов – нестабильность работы блоков питания также ограничивает точность измерений и повторяемость результатов.

Кроме того, для определения пригодности люминесцирующих стекол в качестве преобразователей излучения интроскопов, необходимо учитывать спектральную совместимость спектров люминесценции исследуемого стекла (максимальная длина волны спектра рентгенолюминесценции 550 нм) и область спектральной чувствительности ПЗС-матрицы интроскопа. В связи с этим в качестве измерительного прибора использовали ПЗС-камеру ISD-017 AP интроскопа РИН-120 с матрицей, работающей в режиме накопления светового сигнала. В качестве источника излучения использовался рентгеновский аппарат РУП-150/300. Схема измерения представлена на рис. 1.

В данной методике измерений автоматически решался вопрос о спектральном соответствии рентгенолюминесценции стекол и чувствительности ПЗС-матрицы. За счет накопления сигнала на матрице повышалась точность измерений. При использо-

вании программного обеспечения «Диада» производилось одновременное измерение нескольких образцов стекол и сравнение их яркости с эталоном.

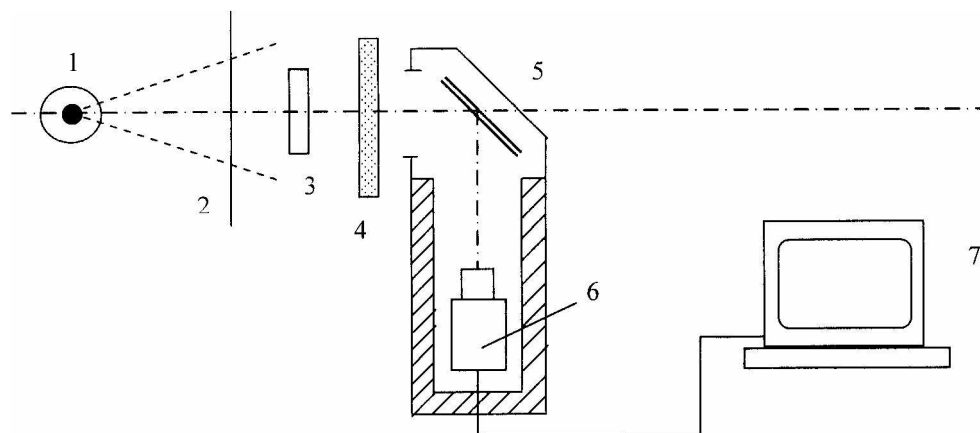
Все измерения проводились при двух режимах рентгеновского аппарата – 100 кВ/3 мА и 220 кВ/6 мА. Для выделения мягкой компоненты излучения (менее 50 кэВ) использовался рентгеновский фильтр – стальной лист толщиной 1,5 мм.

Для определения оптимального соотношения компонентов и концентрации активаторов были проведены измерения для стекол с различными активаторами (табл. 1). Установлено, что максимальную интенсивность свечения имеет стекло, активированное тербием, поэтому дальнейшие исследования проводились с использованием этого активатора.

**Таблица 1.** Интенсивность свечения свинцовых стекол, активированных 2 мас. % РЗЭ

Активатор	Ускоряющее напряжение, кВ	Ток, мА	Интенсивность свечения, усл. ед.
CeO <sub>2</sub>	100	3	20
	220	6	60
Nd <sub>2</sub> O <sub>3</sub>	100	3	20
	220	6	30
Sm <sub>2</sub> O <sub>3</sub>	100	3	35
	220	6	100
Eu <sub>2</sub> O <sub>3</sub>	100	3	30
	220	6	120
Gd <sub>2</sub> O <sub>3</sub>	100	3	30
	220	6	60
Tb <sub>4</sub> O <sub>7</sub>	100	3	50
	220	6	300
Dy <sub>2</sub> O <sub>3</sub>	100	3	40
	220	6	200
Ho <sub>2</sub> O <sub>3</sub>	100	3	20
	220	6	40
Yb <sub>2</sub> O <sub>3</sub>	100	3	30
	220	6	60

Для установления влияния концентрации оксида тербия на интенсивность свечения, его количество в стекле изменяли в пределах от 2 до 15 мас. %.



**Рис. 1.** Схема измерения яркости рентгенолюминесценции: 1) источник излучения – рентгеновский аппарат; 2) фильтр рентгеновского излучения; 3) исследуемый образец люминесцентного стекла; 4) защитное стекло; 5) рентгеночувствительный блок интроскопа; 6) ПЗС-матрица; 7) компьютер

Измерения, проведенные при ускоряющем напряжении 220 кВ и силе тока 6 мА, позволили установить зависимость роста интенсивности свечения с 300 до 750 усл. ед. от концентрации активатора (рис. 2). Очевидно, что прямолинейный участок зависимости после 10 мас. %  $Tb_4O_7$  и незначительное уменьшение интенсивности свечения связаны с эффектом концентрационного тушения. Оптимальным количеством активатора выбрано 10 мас. % оксида тербия.

Несмотря на относительную легкость стеклообразования свинецсодержащих составов, получение стекла этой системы с заданными свойствами связано с определенными трудностями, такими как высокая неоднородность стекломассы, присутствие ликвации. Одной из причин неоднородности является высокая летучесть (до 14 мас. %) с поверхности зеркала стекломассы оксида свинца. Ликвационный распад расплава на две и более фаз для стекол исследуемой системы  $PbO-B_2O_3-SiO_2$ , может иметь место скрытый характер при содержании оксида свинца свыше 20 мол. %, что в конечном итоге осложняет процесс получения заданной структуры стекла. Кроме того, свинцовый сурик ( $Pb_3O_4$ ), посредством которого в стекло вводится оксид свинца, относится к вредным веществам 1 категории.

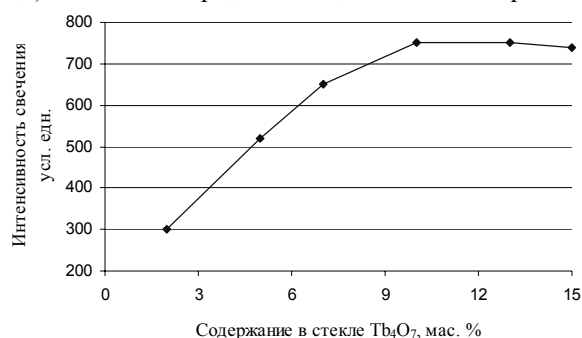


Рис. 2. Зависимость интенсивности свечения свинецсодержащих стекол от концентрации  $Tb_4O_7$

Учитывая вышеизложенное, и главным образом в связи с низкими характеристиками светимости свинецсодержащих стекол, в качестве базовых матриц были рассмотрены составы сцинтилирующих стекол систем  $Li_2O-BaO-SiO_2$  и  $Al_2O_3-B_2O_3-SiO_2$  (табл. 2). Техническая сцинтиляционная эффективность этих стекол, активированных оксидом церия, при возбуждении  $\gamma$ -лучами, по данным работы [4], составляет 2...3 мас. % по отношению к кристаллу NaI (Tl).

Как было отмечено выше, результаты интенсивности свечения свинецсодержащих стекол были получены на образцах с предварительно подготовленной поверхностью, обработкой которой осуществляли с помощью процесса полирования. При полировке создаются благоприятные условия для выщелачивания, развивающегося в контактирующем с водой поверхностном слое стекла. Результатом этого процесса является выход из тонкого приповерхностного слоя стекла ионов натрия. С повы-

шением энергии возбуждающих квантов все большая часть света поглощается в выщелоченном слое, не дающем люминесценции. С целью устранения влияния качества поверхности образца на результаты измерений его яркости, далее сравнительный анализ стекол различных составов осуществляли на порошках стекол.

Таблица 2. Составы стекол с содержанием 10 мас. %  $Tb_4O_7$

Шифр стекла	Состав стекла, мас. %								Дополнительные добавки, сверх 100 %			
	$B_2O_3$	$SiO_2$	$Li_2O$	$BaO$	$MgO$	$Al_2O_3$	$Na_2O$	$WO_3$	$NH_4F$	C	GdO	
1	7,29	64,81	9,68	18,21	—	—	—	—	2	—	—	
2	7,29	64,81	9,68	18,21	—	—	—	—	—	2	—	
3	7,29	64,81	9,68	14,57	3,64	—	—	—	2	—	—	
4	7,29	64,81	9,68	18,21	—	—	—	20	—	—	—	
5	7,29	64,81	9,68	14,57	3,64	—	—	—	—	—	—	
6	7,29	64,81	9,68	14,57	3,64	—	—	—	—	—	5	
7	34,08	39,17	—	—	—	16,64	10,11	—	—	—	—	
8	34,08	39,17	—	—	—	16,64	10,11	—	—	—	5	

Синтез стекол, активированных оксидом тербия в количестве 10 %, осуществляли в корундовых тиглях при температуре 1350 °С, с последующим отжигом в тигле, измельчением стекла и выделением фракции 0,315...0,15 мм.

За исходный состав выбрано стекло (№ 1, табл. 2), соответствующее марке 3-56-8. Тербий может существовать в стекломассе в трех и четырех валентных формах, между которыми устанавливается равновесие  $Tb^{3+}/Tb^{4+}$ , определяемое составом и температурными условиями синтеза. С учетом того, что способностью люминесцировать обладает только ион  $Tb^{3+}$ , для создания восстановительных условий варки, с целью смещения реакций в сторону образования трехвалентного тербия, в состав стекла дополнительно вводили углерод (№ 2, табл. 2). Для увеличения плотности стекла и соответственно его поглощающей способности в базовый состав стекла дополнительно вводился тяжелый элемент в виде оксида вольфрама (№ 4, табл. 2). Кроме того, были опробованы составы стекол с частичной заменой оксида бария на оксид магния (№ 3, 5). Результаты исследования интенсивности свечения исследуемых составов представлены на рис. 3.

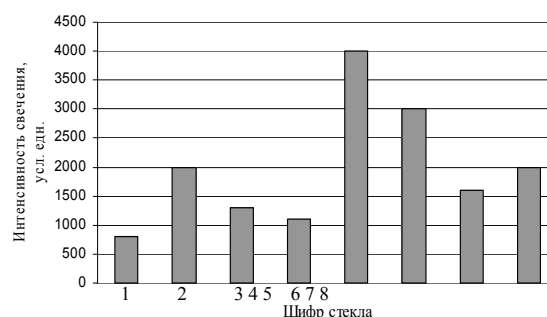


Рис. 3. Интенсивность свечения порошков стекла различного состава (120 кВ, 3 мА, экспозиция 4 с)

Как видно из полученных данных (рис. 3), интенсивность свечения порошка стекла базового со-

става увеличивается в случае использования углерода до 2000 усл. ед. Введение в состав стекла оксида вольфрама незначительно повышает интенсивность свечения до 1100 усл. ед., по сравнению с 800 усл. ед. базового состава (№ 1).

Максимальную светимость (4000 усл. ед.) имеет состав с заменой 20 % оксида бария на оксид магния. Эффект роста люминесценции стекла с магнием отмечен также в работе [5], в которой установлено, что частичная замена катионов оксида бария на оксид магния в количестве 5...10 мол. % способствует увеличению относительной сцинтилляционной эффективности бесщелочных фторсодержащих стекол. Причем, выход рентгенолюминесценции состава с магнием и фтористым аммонием (№ 3) незначителен, всего 1300 усл. ед.

Известны данные о влиянии взаимодействия РЗЭ между собой на люминесцентные характеристики материала. При сравнительно малых концентрациях взаимодействие выражается главным образом в передаче энергии от одного РЗЭ к другому, вследствие чего наблюдается тушение одного или обоих взаимодействующих ионов, гашение одного и сенсibilизация им другого РЗЭ или только сенсibilизация другого. При больших концентрациях можно наблюдать и другие признаки взаимодействия: изменение спектров поглощения и люминесценции. В работе [6] приводятся экспериментальные данные о сенсibilизирующем влиянии на тербий в неорганическом стекле диспрозия, церия и гадолиния, поэтому дополнительно был опробован состав с введением 5 % оксида гадолиния (№ 7). Интенсивность свечения при этом составила 3000 усл. ед., что выше по сравнению с базовым составом, но ниже максимально светящегося состава с заменой бария на магний (№ 5).

Таким образом, интенсивность рентгенолюминесценции стекла зависит не только от типа активатора и его концентрации, но и от базового состава стекла, изменяя который путем введения дополнительных модификаторов, можно увеличивать выход люминесценции.

При использовании стекла в качестве преобразователя рентгеновских лучей необходимо учитывать его технологические характеристики, некоторые из которых можно прогнозировать, учитывая диаграмму состояния системы, к которой относится данный состав стекла. В частности, исходный состав стекла системы  $\text{Li}_2\text{O}-\text{BaO}-\text{SiO}_2$  (точка на диаграмме рис. 4), в отличие от свинецсодержащих стекол, не имеет метастабильной ликвации и обладает низкой склонностью к кристаллизации, что обусловлено низкой температурой плавления (примерно 950 °C) и нахождением состава в области эвтектических точек.

По литературным данным в качестве эффективного сцинтиллирующего под действием  $\gamma$ -излучений материала рекомендуется стекло —  $1,0\text{Na}_2\text{O} \cdot 0,3\text{Ce}_2\text{O}_3 \cdot (3...4) \text{B}_2\text{O}_3 \cdot \text{SiO}_2 \cdot (1,0...1,3) \text{Al}_2\text{O}_3$  [7], с применением активатора — оксида церия.

Данный состав, пересчитанный на оксид тербия, был выбран в качестве базового (№ 7, табл. 3), с дополнительным введением второго РЗЭ —  $\text{GdO}$  (№ 8). По количеству стеклообразователей — оксидов кремния и бора, стекломасса отличается высокой устойчивостью к стеклообразованию. Максимальная температура процесса варки составляла 1350 °C, с последующим отжигом при 500 °C.

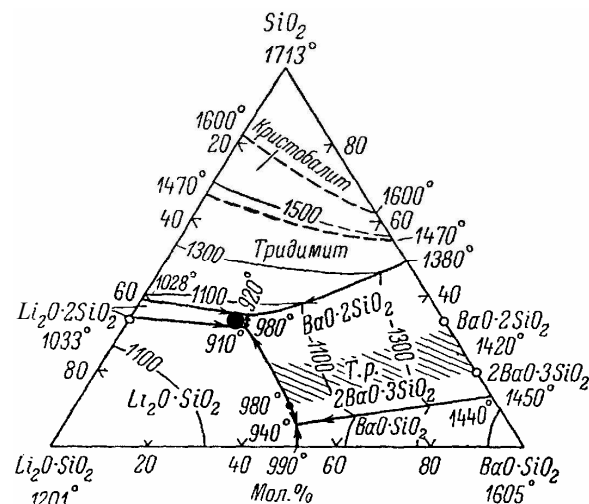


Рис. 4. Диаграмма состояния системы  $\text{Li}_2\text{O}-\text{SiO}_2-\text{BaO}-\text{SiO}_2$

Интенсивность свечения порошков полученных стекол составила для составов (№ 7, 8) 1600 и 2000 усл. ед., соответственно. Присутствие в составе стекла оксида гадолиния в количестве 5 % несколько повышает выход люминесценции. Очевидно, что в случае одновременного присутствия гадолиния и тербия в стекле системы  $\text{Al}_2\text{O}_3-\text{B}_2\text{O}_3-\text{SiO}_2$  происходит передача энергии, при которой осуществляется сенсibilизация активатора.

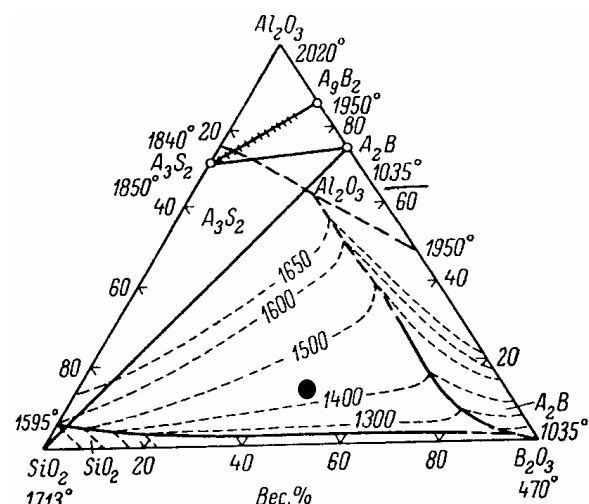


Рис. 5. Диаграмма состояния  $\text{Al}_2\text{O}_3-\text{B}_2\text{O}_3-\text{SiO}_2$

Как видно из диаграммы состояния (рис. 5), исследуемый состав стекла находится в области кристаллизации муллита  $3\text{Al}_2\text{O}_3 \cdot 2\text{SiO}_2$ , вблизи пограничной линии, что соответствует его относительно низкой склонности к кристаллизации. Присут-

ствие в составе стекла оксида натрия снижает температуру плавления и кристаллизационную способность. Однако данные составы стекол обладают меньшим выходом люминесценции по сравнению со стеклами системы  $\text{Li}_2\text{O}-\text{BaO}-\text{SiO}_2$ .

Таким образом, на основании анализа данных литературы и полученных результатов следует, что неорганическое стекло разработанных составов благодаря прозрачности в видимом диапазоне

спектра, достаточной прочности, гибкой технологичности и высокому световыходу может быть использовано в качестве преобразователя рентгеновских лучей интроскопов.

*Работа выполнена при финансовой поддержке ведомственной научной программы Министерства образования РФ «Развитие научного потенциала высшей школы» в направлении «Новые материалы и химические технологии, в том числе наноматериалы и нанотехнологии».*

#### СПИСОК ЛИТЕРАТУРЫ

1. Приборы для неразрушающего контроля материалов и изделий. Кн. 1 / Под ред. В.В. Клюева. – 2-е изд., перераб. и доп. – М.: Машиностроение, 1986. – 488 с.
2. Бюргановская Г.В., Варгин В.В., Леко Н.А., Орлов Н.Ф. Действие излучений на неорганические стекла. – М.: Атомиздат, 1968. – 244 с.
3. <http://www.collimatedholes.com/>
4. Стекло. Справочник / Под ред. Н.М. Павлушкина. – М.: Стройиздат, 1972. – 487 с.
5. Оптические и спектральные свойства стекол: Тезисы VI Всес. симп. по оптическим и спектральным свойствам стекол. – Рига: ЛГУ им. П. Стучки, 1986. – 210 с.
6. Карякин А.В., Аникина Л.И., Павленко Л.И., Лактионова Н.В. Спектральный анализ редкоземельных оксидов. – М.: Наука, 1974. – 154 с.
7. Справочник по производству стекла / Под ред. И.И. Китайгородского. – М.: Госстройиздат, 1963. – Т. 1. – 1026 с.